



دانشگاه صنعتی شیراز

دانشکده مهندسی برق و الکترونیک-گروه مخابرات

پایان نامه کارشناسی ارشد مخابرات-میدان

تطبیق امپدانس پهن باند شبکه‌ی تغذیه در آنتن‌های میکرواستریپ

به وسیله:

حمید سعیدیان

استاد راهنما:

دکتر شاهرخ جم

زمستان ۱۳۹۰

مَلِكُ الْأَنْعَامِ

بسمه تعالی

تطبیق امپدانس پهن باند شبکه‌ی تغذیه در آنتن‌های میکرواستریپ

پایان نامه ارائه شده به عنوان بخشی از فعالیت‌های تحصیلی

به وسیله:

حمید سعیدیان

برای اخذ درجه کارشناسی ارشد

دانشکده مهندسی برق و الکترونیک گروه مخابرات
دانشگاه صنعتی شیراز

ارزیابی پایان نامه توسط هیأت داوران با درجه: عالی

دکتر شاهرخ جم استادیار دانشکده برق و الکترونیک (استاد راهنما)

دکتر مسعود محزون استادیار دانشکده برق و الکترونیک (داور)

دکتر رضا محسنی استادیار دانشکده برق و الکترونیک (داور)

مدیر امور آموزشی و تحصیلات تكمیلی دانشگاه

لقدِ حمایت ***

خدایی که،

آفرید جهان را، انسان را، عقل را، علم را، معرفت را، عشق را و ...

روح بزرگوار مادرم،

کسی که آفتاب مهرش در آستانه قلبم همچنان پابرجاست و هرگز غروب نخواهد
کرد ...

پدرم،

به او که نمی‌دانم از بزرگواری اش بگویم یا مردانگی، سخاوت، سکوت، مهربانی و ...

خانواده و تامی دوستان عزیزم

که لحظات ناب باور بودن، لذت و غرور دانستن، جسارت خواستن، عظمت رسیدن و
تمام تجربه‌های یکتا و زیبای زندگی ام، مدیون حضور سبز آن‌هاست ...

و تامی بماران سرطانی ...

سپاس‌گزاری

سپاس بی‌کران پروردگار یکتا را که هستی‌مان بخشدید و به طریق علم و دانش رهنمونمان شد و به همنشینی رهروان علم و دانش مفتخرمان نمود و خوش‌چینی از علم و معرفت را روزیمان ساخت. اکنون که این رساله به پایان رسیده است بر خود فرض می‌دانم که از استاد ارجمند جناب آقای دکتر شاهرخ جم به خاطر خدمات فراوان و کمک‌های بی‌دریغشان در انجام این پایان‌نامه به عنوان استاد راهنمای کمال تشكر و قدردانی را داشته باشم.

در پایان از مرکز تحقیقات مخابرات ایران به دلیل حمایت مالی از پروژه، مصوب در تاریخ ۹۰/۱۰/۲۵ با شماره قرارداد، کمال تشكر و قدردانی را دارم.

چکیده

در طراحی هر آنتن، تک المان یا چند المان، وقت و هزینه‌ی زیادی صرف تطبیق امپدانس می‌شود؛ به طور کلی دو رویکرد در مورد تطبیق امپدانس وجود دارد؛ یکی رویکرد تطبیق امپدانس گستردگی که در آن با تعیین درجه‌های آزادی مناسب در ساختار آنتن به اصلاح ابعاد هندسی آن پرداخته می‌شود. رویکرد دوم، روش المان فشرده می‌باشد که در آن به جای اصلاح ساختار هندسی آنتن، تلاش می‌شود تا با استفاده از یک شبکه‌ی پسیو فشرده، بین منبع و آنتن تطبیق ایجاد شود.

امروزه آنتن‌های پچ میکرواستریپ (MPAs) به دلیل داشتن ویژگی‌های مطلوبی مانند سبکی، سادگی و ساخت آسان، بسیار مورد توجه قرار گرفته‌اند. تحقیقات آزمایشگاهی در مورد وابستگی پهنه‌ی باند فرکانسی به مشخصات هندسی MPA نشان می‌دهد که تغییرات در امپدانس یکی از عامل‌های غالب در محدود کردن پهنه‌ی باند آن‌ها می‌باشد. به منظور افزایش پهنه‌ی باند MPA تاکنون روش‌های متفاوتی مبتنی بر رویکردهای المان فشرده و المان گستردگی (اصلاح ساختار) ارائه و توسعه داده شده است.

این پایان‌نامه به دلیل سودمندی آنتن‌های میکرواستریپ با تزویج روزنہ (ACMPA) در کاربردهای بی‌سیم و تجهیزات ISM بر روی طراحی ACMPA در فرکانس ۲/۴GHz متمرکز می‌شود. همچنین، ACMPA به دلیل اینکه از نظر الکتریکی، مدار تغذیه و شیفت دهنده فاز را از پچ تشعشعی ایزوله می‌کند، در آرایه‌های فازی کاربرد زیادی دارد.

در این تحقیق ابتدا با استفاده از تأثیر ابعاد و پارامترها در عملکرد آنتن به طراحی یک ACMPA باریک باند در فرکانس ۲/۴GHz (باند S) پرداخته می‌شود. پارامترهایی از آنتن که در این تحقیق مورد مطالعه قرار می‌گیرند شامل ابعاد و موقعیت خط تغذیه، شکاف تزویج صفحه‌ی زمین و پچ تشعشعی می‌باشند. فرکانس کارکرد، VSWR ورودی، درصد پهنه‌ی باند و نرخ پلاریزاسیون برای هر پیکربندی آنتن، تعیین می‌شوند.

سپس به منظور افزایش پهنه‌ی باند ACMPA طراحی شده در فرکانس ۲/۴GHz یک شبکه‌ی تطبیق امپدانس نوع خط انتقالی (رویکرد گستردگی) طراحی و ساخته می‌شود. این موضوع هدف اصلی این پایان‌نامه می‌باشد. می‌توان نشان داد که با طراحی بهینه‌ی شبکه‌ی تطبیق امپدانس و بسته به مرتبه‌ی تطبیق مورد نیاز می‌توان پهنه‌ی باند را حداقل ۳/۷ برابر افزایش داد.

آنتن‌های طراحی شده با استفاده از زیرلایه‌های دو و یک طرفه‌ی FR4 با ضخامت $1/6\text{mm}$ که با استفاده از نوار دو طرفه‌ی فوم دار (با ضخامت $1/143\text{mm}$) به هم متصل می‌گردند، ساخته می‌شوند. آنتن‌های ساخته شده به منظور مقایسه با نتایج تحلیلی در یک اتاق بدون انعکاس آزمایش می‌شوند. نتایج اندازه‌گیری نشان می‌دهد که روند طراحی می‌تواند به طور موفقیت آمیز به ACMPA اعمال شود.

فهرست مطالب

عنوان	صفحه
۱: فصل اول: مقدمه‌ی کلی در مورد تطبیق امپدانس پهن باند	۱
۱-۱: مقدمه	۱
۲-۱: تطبیق امپدانس پهن باند - چشم‌انداز تاریخی	۲
۳-۱: طبقه‌بندی مسائل تطبیق امپدانس	۴
۴-۱: نئوری Bode-Fano و رویکرد تحلیلی	۵
۵-۱: روش فرکانس حقیقی	۶
۶-۱: تطبیق پهن باند در آنتن‌ها	۷
۷-۱: هدف کلی پروژه	۸
۲: فصل دوم: آنتن‌های میکرواستریپ	۱۰
۱-۲: مقدمه	۱۰
۲-۲: مزایا، معایب و کاربردهای عمومی MPA	۱۱
۳-۲: المان پچ	۱۲
۴-۲: روش‌های تغذیه‌ی آنتن میکرواستریپ	۱۲
۴-۲-۱: خط تغذیه‌ی میکرواستریپ	۱۳
۴-۲-۲: تغذیه با پروب کواکسیال	۱۳
۴-۲-۳: تغذیه با تزویج روزنه	۱۴
۴-۲-۴: تغذیه با تزویج مجاورتی	۱۵
۴-۲-۵: روش تغذیه‌ی موجبری هم‌صفحه	۱۵
۵-۲: مدل‌سازی آنتن‌های میکرواستریپ	۱۶
۵-۲-۱: مدل خط انتقالی	۱۶
۵-۲-۲: مدل محفظه	۱۶
۵-۲-۳: مدل شبکه‌ی دو-پورتی	۱۷
۵-۲-۴: مدل تمام موج	۱۷
۵-۲-۶: برخی پارامترهای عمومی آنتن	۱۷
۳: فصل سوم: طرح مسئله و مرور کارهای گذشته	۱۸
۱-۳: مقدمه	۱۸
۲-۳: راه کارهای بهبود پهنانی باند MPA	۱۹
۳-۳: آنتن پچ میکرواستریپ با تزویج روزنه (ACMPA)	۱۹

۱۰ACMPA: ساختار	۳-۳-۱
۲۱ACMPA: مزایای	۳-۲-۲
۲۱ACMPA: پارامترهای طراحی	۳-۳-۳
۲۱۴: طرح مسئله.	۳-۴
۲۲۵: مرور کارهای گذشته	۳-۵
۲۲۱: ساخت یک ACMPA کوچک با هدف افزایش پهنای باند	۳-۵-۱
۲۴۲: ارائه‌ی یک شبکه‌ی تطبیق امپدانس با استفاده از روش‌های طراحی فیلتر	۳-۵-۲
۲۵۳: افزایش پهنای باند آنتن میکرواستریپ	۳-۵-۳
۲۷۴: ارائه‌ی روش تطبیق امپدانس جدید برای آنتن‌های پچ	۳-۵-۴
۲۹۴: فصل چهارم: طراحی یک آنتن میکرواستریپ با تزویج روزنه در فرکانس ۲/۴GHz	۴-۴
۲۹۱: مقدمه	۴-۴
۳۰۲: بررسی ACMPA مطرح شده در [۷۲]	۴-۲
۳۳۳: عملکرد آنتن نامی	۴-۳
۳۷۴: مدل مدار معادل	۴-۴
۴۰۵: مطالعه‌ی پارامتریک	۴-۵
۴۱۴-۱: بررسی تأثیر چند پارامتر مهم	۴-۴
۴۱۱-۱-۵-۴: شکاف صفحه‌ی زمین	۴-۱
۴۲۲-۱-۵-۴: پچ تشعشعی	۴-۲
۴۴۶: طراحی و تنظیم	۴-۶
۴۶۱: طراحی اولیه	۴-۶-۱
۴۹۷: تنظیم برای فرکانس ۲/۴GHz	۴-۷
۵۳۸: ساخت	۴-۸
۵۶۹: نتایج اندازه‌گیری	۴-۹
۵۶۱-۹-۴: اندازه‌گیری الگوهای تشعشعی	۴-۱
۵۸۲-۹-۴: اندازه‌گیری اتلاف بازگشتی	۴-۲
۶۰۱۰-۴: نتیجه‌ی گیری	۴-۱۰
۶۱۵: فصل پنجم: تطبیق امپدانس پهن باند شبکه‌ی خط تغذیه	۵-۶
۶۱۱: مقدمه	۵-۱
۶۲۲: طراحی اولیه	۵-۲
۶۸۳: نتایج شبیه سازی	۵-۳
۶۹۱-۳-۵: مطالعه‌ی پارامتریک	۵-۱
۷۱۴-۵: عملکرد ACMPA اصلاح شده	۵-۴
۷۵۵: ساخت	۵-۵
۷۶۶: نتایج اندازه‌گیری	۵-۶
۷۶۱-۶-۵: اندازه‌گیری الگوهای تشعشعی	۵-۱

۷۷	۲-۶: اندازه‌گیری اتلاف بازگشتی	۵-۶
۸۰	۶: فصل ششم: نتیجه‌گیری و پیشنهادها	
۸۰	۶-۱: نتیجه گیری	
۸۱	۶-۲: پیشنهادها	
۸۳	فهرست منابع	
۹۰	ضمایم	
۹۰	أ: مطالعه‌ی پارامتریک	
۱۱۲	ب: پارامترهای عمومی آنتن	
۱۲۱	ت: کد MATLAB	

فهرست شکل‌ها

عنوان	صفحه
شکل ۱-۱: سه طبقه بندی برای تطبیق امپدانس.....	۴
شکل ۱-۱: مسئله‌ی تطبیق امپدانس.....	۶
شکل ۱-۲: ساختار عمومی یک MPA مستطیلی با خط تغذیه میکرواستریپ هم صفحه.....	۱۰
شکل ۲-۲: ایجاد شکاف در محل اتصال خط میکرواستریپ و پچ به منظور تطبیق	۱۳
شکل ۲-۲: تغذیه‌ی پروب کواکسیال	۱۴
شکل ۲-۲: تغذیه با تزویج روزنه	۱۴
شکل ۲-۵: تغذیه با تزویج مجاورتی.....	۱۵
شکل ۲-۶: لایه‌های یک تغذیه CPW	۱۵
شکل ۱-۳: ACMPA مستطیلی [۵۷].....	۲۰
شکل ۲-۳: ساختار ACMPA طراحی شده در [۶۷].....	۲۳
شکل ۳-۳: RL اندازه‌گیری شده برای ACMPA طراحی شده در [۶۷].....	۲۴
شکل ۴-۳: ابعاد و هندسه‌ی ACMPA طراحی شده در [۶۸].....	۲۴
شکل ۵-۳: RL برای ACMPA طراحی شده در [۶۸].....	۲۵
شکل ۳-۶: ساختار MPA طراحی شده در [۶۹].....	۲۶
شکل ۷-۳: RL برای MPA طراحی شده در [۶۹].....	۲۶
شکل ۸-۳: سه ساختار پیشنهادی در [۷۰].....	۲۷
شکل ۹-۳: اتلاف بازگشتی برای ساختارهای ارائه شده در [۷۰].....	۲۷
شکل ۱۰-۳: طرح پیشنهادی شبکه تطبیق ارائه شده در [۷۱].....	۲۸
شکل ۱۱-۳: RL برای طرح پیشنهادی در [۷۱].....	۲۸
شکل ۱-۴: بلوک دیاگرام [۷۳] ACMPA.....	۲۹
شکل ۲-۴: لایه‌های مختلف یک ACMPA	۳۰
شکل ۳-۴: خط تغذیه‌ی میکرواستریپ و ابعاد نامی.....	۳۱
شکل ۴-۴: مدار معادل ACMPA [۷۳].....	۳۱
شکل ۵-۴: سیستم مختصات مدل HFSS در ACMPA	۳۲
شکل ۶-۴: ابعاد شکاف و زیرلایه‌ی تغذیه	۳۲
شکل ۷-۴: شکاف صفحه‌ی زمین و میدان الکتریکی پلاریز شده در جهت X.....	۳۳
شکل ۸-۴: میدان‌ها و جریان الکتریکی پچ	۳۴
شکل ۹-۴: ابعاد لایه‌های آنتن نامی.....	۳۴
شکل ۱۰-۴: $ S_{11} $ بر حسب فرکانس.....	۳۵
شکل ۱۱-۴: امپدانس ورودی آنتن نامی بر حسب فرکانس	۳۵
شکل ۱۲-۴: VSWR _{in} آنتن نامی بر حسب فرکانس برای تعیین پهنانی باند	۳۶

۳۶.....	شکل ۱۳-۴: الگوی تشعشعی برای آنتن نامی در فرکانس ۲/۲۸۳۸GHz
۳۷.....	شکل ۱۴-۴: ابعاد مورد نیاز برای بدست آوردن پارامترهای MPA
۳۹.....	شکل ۱۵-۴: مدل مدار معادل ADS ACMPA در ADS
۴۰.....	شکل ۱۶-۴: VSWR _{in} بر حسب فرکانس برای مدل مدار معادل با استفاده از ADS
۴۱.....	شکل ۱۷-۴: ابعاد شکاف و سایر متغیرهای دیگر
۴۱.....	شکل ۱۸-۴: امپدانس ورودی بر حسب طول شکاف
۴۲.....	شکل ۱۹-۴: VSWR ورودی بر حسب عرض شکاف
۴۲.....	شکل ۲۰-۴: متغیرهای پج
۴۳.....	شکل ۲۱-۴: فرکانس کارکرد بر حسب طول پج
۴۳.....	شکل ۲۲-۴: امپدانس ورودی بر حسب عرض پج
۴۷.....	شکل ۲۳-۴: بُرد FR4 دو طرفه، شکاف صفحه‌ی زمین و چسب دوطرفه‌ی فوم دار
۴۹.....	شکل ۲۴-۴: اتلاف بازگشتی بر حسب فرکانس
۴۹.....	شکل ۲۵-۴: VSWR ورودی بر حسب فرکانس
۵۰.....	شکل ۲۶-۴: الگوهای تشعشعی آنتن مرجع
۵۱.....	شکل ۲۷-۴: اتلاف بازگشتی بر حسب فرکانس برای آنتن مرجع
۵۱.....	شکل ۲۸-۴: VSWR ورودی بر حسب فرکانس برای آنتن مرجع
۵۲.....	شکل ۲۹-۴: امپدانس ورودی بر حسب فرکانس برای آنتن مرجع
۵۴.....	شکل ۳۰-۴: اتصال دهنده SMA روی برد دوطرفه‌ی FR4 لحیم می‌شود
۵۴.....	شکل ۳۱-۴: اتصال دهنده 7845 SMA و ابعاد پایه‌ها و هادی داخلی آن
۵۵.....	شکل ۳۲-۴: نحوه‌ی استفاده از چسب دوطرفه‌ی فوم دار به جای لایه‌ی هوا
۵۵.....	شکل ۳۳-۴: آنتن مرجع ساخته شده
۵۶.....	شکل ۳۴-۴: ساختار پایه برای اندازه‌گیری الگوی تشعشعی آنتن مرجع
۵۷.....	شکل ۳۵-۴: نحوه‌ی قرار گیری AUT و منبع برای بدست آوردن الگوهای تشعشعی
۵۸.....	شکل ۳۶-۴: الگوهای تشعشعی آنتن مرجع در فرکانس ۲/۴GHz
۵۹.....	شکل ۳۷-۴: اتلاف بازگشتی اندازه‌گیری شده برای آنتن مرجع
۵۹.....	شکل ۳۸-۴: مقایسه‌ی اتلاف بازگشتی واقعی و شبیه سازی برای آنتن مرجع
۶۳.....	شکل ۱-۵: آنتن میکرواستریپ با تغذیه هم صفحه
۶۴.....	شکل ۲-۵: مدل مداری یک شبکه‌ی تطبیق امپدانس n-طبقه [۶]
۶۴.....	شکل ۳-۵: مدل مداری ACMPA اصلاح شده [۶] و [۷۳]
۶۵.....	شکل ۴-۵: ACMPA اصلاح شده و پارامترهای شبکه‌ی تطبیق
۶۸.....	شکل ۵-۵: اتلاف بازگشتی بر حسب فرکانس برای آنتن جدید به همراه شبکه‌ی تطبیق
۷۰.....	شکل ۵-۵: نتایج اتلاف بازگشتی برای چهار مطالعه‌ی پارامتریک
۷۱.....	شکل ۷-۵: الگوهای تشعشعی ACMPA اصلاح شده در فرکانس ۲/۳۹۳۹ GHz
۷۲.....	شکل ۸-۵: اتلاف بازگشتی بر حسب فرکانس برای ACMPA اصلاح شده
۷۲.....	شکل ۹-۵: VSWR ورودی بر حسب فرکانس برای آنتن مرجع
۷۳.....	شکل ۱۰-۵: مقایسه بهره و راندمان ACMPA اصلاح شده و آنتن مرجع
۷۴.....	شکل ۱۱-۵: امپدانس ورودی ACMPA اصلاح شده

شکل ۱۲-۵: مقایسه اتلاف بازگشتی ACMPA اصلاح شده و آنتن مرجع (شبیه سازی)	۷۵
شکل ۱۳-۵: VSWR ورودی برای ACMPA اصلاح شده و آنتن مرجع	۷۵
شکل ۱۴-۵: ACMPA اصلاح شده (نمونه ساخته شده)	۷۶
شکل ۱۵-۵: الگوهای تشعشعی ACMPA اصلاح شده	۷۷
شکل ۱۶-۵: اتلاف بازگشتی اندازه‌گیری شده برای ACMPA اصلاح شده	۷۸
شکل ۱۷-۵: مقایسه اتلاف بازگشتی واقعی و شبیه‌سازی برای ACMPA اصلاح شده	۷۸
شکل ۱۸-۵: مقایسه اتلاف بازگشتی اندازه‌گیری شده برای آنتن مرجع و ACMPA اصلاح شده	۷۹

فهرست جدول‌ها

عنوان	صفحه
جدول ۱-۱: روش‌های تطبیق امپدانس (باریک باند و پهن باند).	۸
جدول ۱-۲: ویژگی‌های MPA	۱۱
جدول ۲-۲: کاربردهای عمومی MPA	۱۱
جدول ۳-۱: نتایج ACMPA طراحی شده در [۶۷]	۲۳
جدول ۴-۱: مشخصه‌های ACMPA نامی	۳۷
جدول ۴-۲: مقدادیر مدار معادل برای آنتن نامی	۳۸
جدول ۴-۳: مقایسه پارامترهای میکرواستریپ	۴۷
جدول ۴-۴: ابعاد لازم برای طراحی اولیه	۴۸
جدول ۵-۴: ابعاد لازم برای طراحی آنتن مرجع	۵۰
جدول ۶-۴: مقایسه آنتن نامی و آنتن مرجع	۵۲
جدول ۷-۴: مقایسه پارامترهای آنتن مرجع (اندازه‌گیری و شبیه سازی)	۶۰
جدول ۱-۵: پارامترهای مورد نیاز از آنتن مرجع به منظور طراحی شبکه‌ی تطبیق امپدانس	۶۵
جدول ۲-۵: پارامترهای امپدانس برای شبکه‌ی تطبیق ارائه شده	۶۷
جدول ۳-۵: مطالعه‌ی پارامتریک، بررسی تأثیر طول و عرض پارامترهای امپدانسی شبکه‌ی تطبیق	۷۰
جدول ۴-۵: پارامترهای ACMPA اصلاح شده	۷۳
جدول ۵-۵: مقایسه عملکرد ACMPA اصلاح شده با آنتن مرجع (فصل ۴)	۷۳
جدول ۶-۵: مقایسه نتایج اندازه‌گیری و شبیه سازی شده برای ACMPA اصلاح شده	۷۹

فهرست نشانه‌های اختصاری

ACMPA	Aperture Coupled Microstrip Patch Antenna
ADS	Advanced Design System
BW	Bandwidth
BW%	Bandwidth Percentage
dB	Decibel
EM	Electromagnetic
FDTD	Finite Difference Time Domain
FR4	Flame Resistant 4
GPS	Global Positioning System
G	Gain
GHz	Giga Hertz
H	Height
IEEE	Institute of Electrical and Electronic Engineers
ISM	Industrial Science Medical
L	Length
MHz	Mega Hertz
mm	millimeter
PCB	Printed Circuit Boards
PEC	Perfect Electric Conductor
RF	Radio Frequency
RL	Return Loss
RFT	Real Frequency Technique
VSWR	Voltage Standing Wave Ratio
WLAN	Wireless Local Area Network
W	Width
Z_0	Characteristic Impedance

فهرست نمادها

Z_0	Characteristic Impedance
Z_L	Load Impedance
Z_{in}	Input Impedance
RL	Return Loss
S_{11}	S parameter from port 1 to port 1
λ	Wavelength
λ_g	Dielectric guided wavelength
λ_0	Free space wavelength
$\tan \delta$	Dielectric loss tangent
f	frequency
f_r	Resonant frequency
f_0	Center frequency
f_c	Cut off frequency
f_H	Upper frequency
f_L	Lower frequency
C	Speed of light 2.998×10^8 m/s
ϵ_{eff}	Effective dielectric constant
ϵ_0	Dielectric constant of free space
ϵ_r	Relative Dielectric constant
W	Patch or conductor width
H	Substrate height
L	Patch or conductor length
Γ	Reflection coefficient
L_{eff}	Effective length
ΔL	Length extension
T	Conductor thickness

فصل اول

مقدمه‌ی کلی در مورد تطبیق امپدانس پهن باند

۱-۱: مقدمه

بدون شک معادلات ماکسول پایه و اساس بسیاری از توانمندی‌های فنی بشر است. امروزه می‌توانیم معادلات ماکسول را در قالب‌های بسیار متفاوتی تشخیص دهیم. در مجموع ۲۰ معادله به صورت ۴-تایی وجود دارد که بسیار شبیه یک سیستم چهار بعدی برداری می‌باشند. این بیست معادله توسط Gibbs و Oliver Heaviside در قالب ۴ معادله‌ی پر کاربرد معرفی و سپس، این چهار معادله به صورت نمادهای برداری نشان داده شدند. درست است که ماکسول اعتبار زیادی به ارتباط و یگانگی الکتریسیته و مغناطیس بخشید و نظریه خود را استوار کرد اما در این موفقیت نباید زحمات افراد بزرگی چون Michael Faraday، André Marie Ampère، Carl Friedrich Gauss و دیگران را نادیده گرفت. افرادی مثل Alexander Popov، J. C. Bose، Nikola Tesla، Heinrich Hertz و Thomas Edison و دیگران از جمله کسانی بودند که روابط ریاضی را برای پیدایش فیزیکی این قبیل مسائل ارائه کردند. دو رکن اساسی برق و مخابرات (ارتباط سیمی و بی‌سیم)، که بر روی بسیاری از جنبه‌های زندگی بشر تأثیر گذاشته‌اند، مرهون زحمات پیشگامان اولیه در این عرصه بوده است. در هر دوی این ارتباطها نیاز طبیعی، انتقال مؤثر توان از منبع به بار می‌باشد. این مسئله را به طور خلاصه می‌توان تحت عنوان تطبیق امپدانس بیان کرد. می‌دانیم که اگر بار و منبع صرفاً مقاومتی باشند می‌توان با برابر قرار دادن مقاومت‌های بار و منبع به این هدف رسید. در موقعی هم که عناصر راکتیو در مدار وجود دارد، شرایط برای انتقال مؤثر توان با تطبیق امپدانس مزدوج، به منظور حذف رآکتانس، حاصل خواهد شد.

۲-۱: تطبیق امپدانس پهن باند - چشم‌انداز تاریخی

شروع تکنولوژی تطبیق امپدانس به ۷۰ سال قبل بر می‌گردد. دو ابزار بسیار مهم و اساسی تطبیق پهن باند در سال ۱۹۳۹ معرفی شدند. یکی تئوری دارلینگتون^۱ (۱۹۳۹) که در آن یک تابع امپدانس مجموعه‌ای دلخواه از عناصر مقاومتی و راکتیو (واکنشی)، می‌تواند به وسیله‌ی یک شبکه‌ی راکتیو ختم شده به یک مقاومت 1Ω بیان شود [۱]. بدیهی است که اگر مقاومت 1Ω با هر امپدانس دیگری جایگزین شود تئوری دارلینگتون اشتباه خواهد بود، در این صورت است که مسئله‌ی امپدانس‌های سازگار^۲ در سال ۱۹۹۷ توسط Youla [۲] مطرح شد. ابزار مهم دیگری که در سال ۱۹۳۹ برای اولین بار بیان شد، نمودار اسمیت بود که نخستین بار به وسیله‌ی اسمیت برای تحلیل خط انتقال [۳] ارائه شد. این نمودار امپدانس‌های نیم صفحه‌ی راست^۴ (RHP) صفحه‌ی مختلط را به یک دایره‌ی واحد نگاشت می‌دهد. کاربرد نمودار اسمیت به مرور زمان پیشرفت کرد و بعدها از آن به عنوان یک ابزار مهم در تطبیق امپدانس مورد استفاده قرار گرفت.

تئوری تحلیلی تطبیق پهن باند در سال ۱۹۴۵ توسط Bode با بیان یک محدودیت پهنانی باند-بهره^۵ برای مسئله‌ی تطبیق منفرد^۶ (با بار RC موازی) به وجود آمد [۴]. نظریه‌ی تحلیلی نیازمند دانستن محدودیت‌های پهنانی باند-بهره می‌باشد؛ به هر حال، این راه حل تنها برای مسائل تطبیق منفرد با بارهای ساده‌ی RLC یا RC قابل استفاده و نیازمند مدل‌های دقیق بار می‌باشد.

در سال ۱۹۴۸ نظریه‌ی پهنانی باند-بهره‌ی Bode را برای پهن باند کردن یک مسئله‌ی تطبیق منفرد با بار RC موازی با استفاده از بنا نهادن نظریه فیلتر (تطبیق مقاومتی یا اتلاف الحاقی^۷) گسترش داد [۵]؛ Fano این نظریه را به کمک تئوری دارلینگتون ایجاد کرد. نظریه‌ی Fano در مورد تطبیق منفرد بعدها توسط Matthaei در سال ۱۹۵۶ [۶]، Nahi و Plotkin در سال ۱۹۶۲ [۷]، Mellor در سال ۱۹۷۵ [۸] و Chen در سال ۱۹۷۶ [۹]، گسترش یافت. همچنین نظریه‌ی Fano در مورد تطبیق مزدوج^۸ نیز توسط Fielder در سال ۱۹۶۱ [۱۰]، Levy در سال ۱۹۶۴ [۱۱]، Youla در سال ۱۹۶۴ [۱۲]، Wohlers در سال ۱۹۶۵ [۱۳]، Chen در سال ۱۹۸۸ [۱۴] و Gudipati در سال ۱۹۹۵ [۱۵] پیشرفت‌های قابل توجهی یافت.

¹ Darlington's Theorem

² Compatible impedances

³ Right Half-Plane

⁴ Gain- bandwidth limitation

⁵ Single matching

⁶ Insertion loss

⁷ Double matching

شایان ذکر است در سال ۱۹۵۳ تحقیقاتی در زمینه‌ی تطبیق با اتلاف (Lossy) (توسط LaRosa شروع شد که برای این کار یک تضعیف کننده‌ی منطبق مقاومتی بین منبع و بار قرار داده شد [۱۶]. تحقیقات در این مورد در سال ۱۹۵۶ توسط Westman [۱۷]، در سال ۱۹۷۵ توسط Gilbert [۱۸]، در سال ۱۹۸۴ توسط Liu و Ku [۱۹]، در سال ۱۹۸۸ توسط Zhu و همکارانش [۲۰]، در سال ۲۰۰۵ توسط Chu و Allstot [۲۱]، در سال ۲۰۰۶ توسط Allen و Arceo [۲۲] و در سال ۲۰۰۸ توسط Allen [۲۳] ادامه یافت.

از سال ۱۹۵۶ با استفاده از بهینه‌سازی (برنامه‌ریزی غیر خطی) که یکی از تکنیک‌های کمینه سازی توابع اسکالر غیر خطی می‌باشد، تحقیقاتی در زمینه‌ی بهینه‌سازی شبکه با استفاده از برنامه‌نویسی FORTRAN II آغاز شد و همچنان با پیشرفت‌های زبان‌های برنامه‌نویسی و الگوریتم‌های بهینه سازی، ادامه دارد. در مورد بهینه‌سازی تطبیق امپدانس نیز برای ارائه‌ی یک شبکه‌ی تطبیق بهینه تحقیقاتی انجام شده است و همچنان ادامه دارد.

در سال ۱۹۶۱ یک طراحی گرافیکی مقدماتی از شبکه‌های تطبیق امپدانس پهن باند توسط Jasik [۲۴] با استفاده از نمودار اسمیت انجام شد. سپس با استفاده از نموداری بنام کارترا (یک نگاشت دو طرفه همانند نمودار اسمیت است ولی خطوط با اندازه‌ی ثابت امپدانسی و Q ^۱ نشان داده می‌شوند) بیان شد، در سال ۲۰۰۵ Glover با استفاده از این نمودار به کاهش Q بار (افزایش پهنای باند) پرداخت [۲۵].

روش تحلیلی پهنای باند-بهره که پیش از این بیان شد برای مشخص کردن شبکه تطبیق امپدانس نیازمند دانستن مدل بار می‌باشد و به منظور توصیف آن از یک تابع انتقال گویا با صفر و قطب تکین در صفحه مختلط فرکانسی استفاده می‌شود. به همین دلیل جز در مسائل ساده بسیار مشکل خواهد بود. در سال ۱۹۷۷ پروفسور Carlin روشی عددی با نام روش فرکانس حقیقی (RFT) پیشنهاد داد که یک رویکرد جدید در رابطه با توصیف بار با استفاده از نمونه‌های فرکانس حقیقی روی محور $p=j\omega$ ^۲ می‌باشد و نیازی به مدل بار ندارد. در این روش هدف اصلی بهینه کردن بهره‌ی توان مبدل^۳ می‌باشد [۲۶].

در سال ۱۹۸۱ یک رویکرد سراسر متفاوت نسبت به روش تحلیلی و عددی برای تطبیق منفرد پهن باند به عنوان یک مسئله‌ی مینیمم فاصله در فضای کران دار توابع تحلیلی، به ویژه برای مشخص کردن شبکه‌های پسیو با پارامترهای پراکندگی^۳ توسط Helton مطرح شد [۲۷]. این روش که تحت

¹ Quality factor

² Transformer power gain

³ Scattering parameters

عنوان "H-Infinity and Hyperbolic Geometry" مطرح شد بیشتر در تقویت کننده‌ها به کار می‌رود.

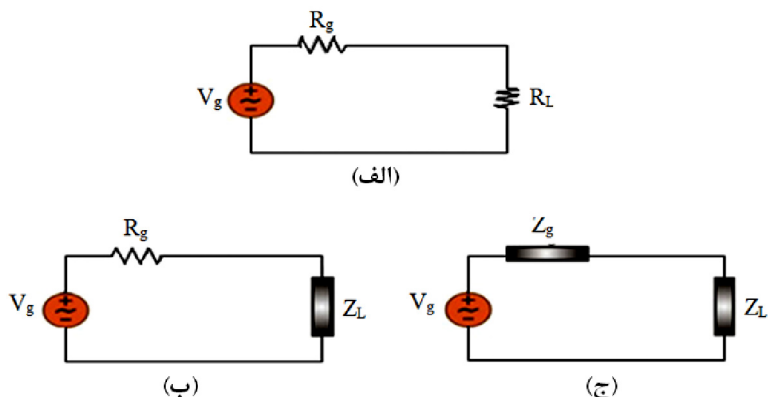
در سال ۱۹۸۵ روش‌های جستجوی شبکه‌ای اصولی^۱ مطرح شدند یکی از این رویکردهای سیستماتیک بر اساس طراحی یک شبکه تطبیق امپدانس نزدبانی می‌باشد [۲۸]. این رویکرد که بنام رویکرد شبکه‌ای نیز معروف است در آن می‌توان یک ترکیب اصلاح شده از المان‌های فشرده و گسترده را به منظور تطبیق پهن باند استفاده کرد.

۱-۳: طبقه‌بندی مسائل تطبیق امپدانس

به طور کلی تطبیق امپدانس بین هر منبع و بار دلخواه را می‌توان به سه دسته زیر تقسیم‌بندی کرد، که به صورت خلاصه در شکل ۱-۱ نشان داده شده‌اند:

- مسئله‌ی تطبیق مقاومتی^۲ - منبع و بار هر دو مقاومتی و نابرابر باشند.
- مسئله‌ی تطبیق منفرد- منبع مقاومتی و بار مختلط باشند.
- مسئله‌ی تطبیق مزدوج - منبع و بار هر دو مختلط باشند.

در اینجا فرض می‌کنیم که ولتاژ منبع V_g و مقاومت یا امپدانس داخلی آن به ترتیب R_g یا Z_g و همچنین مقاومت یا امپدانس بار نیز به ترتیب R_L یا Z_L باشد.



شکل ۱-۱: سه طبقه‌بندی برای تطبیق امپدانس : (الف) تطبیق مقاومتی (ب) تطبیق منفرد (ج) تطبیق مزدوج در حالت اول تطبیق به سادگی و با برابر قرار دادن مقاومت بار و منبع حاصل می‌شود. در حالی که تطبیق منفرد و تطبیق مزدوج کمی پیچیده‌تر هستند. تطبیق منفرد شایع‌ترین مورد در سناریوی

¹ Systematic grid search

² resistive matching

طراحی مدار RF و آنتن است. از آنجا که در این مورد بار (مثلاً آنتن) مختلط و منبع مقاومتی است، حذف رآکتانس لازم خواهد بود. علاوه بر این اگر مقاومت منبع و بار برابر نباشد، نیاز به دستکاری شبکه برای انتقال بیشتر توان می‌باشد (با فرض تک فرکانس بودن و باریک باند بودن). تطبیق دوبل بیشتر در کاربردهای RFID^۱ (فرکانس رادیویی تشخیص)، که در آن‌ها یک تراشه به آنتن متصل می‌شود، استفاده می‌شود. چرا که امپدانس خروجی تراشه‌ها عموماً مختلط است.

۴-۱: تئوری Bode-Fano و رویکرد تحلیلی

اولین گام اساسی از لحاظ نظری برای تطبیق امپدانس پهن باند توسط Bode برداشته شد [۴]. این کار با در نظر گرفتن یک بار ساده (ترکیب موازی یک مقاومت و یک خازن) با استفاده از تطبیق منفرد انجام شد. اساس روش Bode یک رویکرد تحلیلی است که نیازمند یک تقریب مداری از امپدانس بار می‌باشد که از اطلاعات صفحه فرکانس مختلط استفاده می‌کند؛ این روش تنها برای مدارهای با بار ساده، که مدل کردن آن‌ها راحت‌تر است، استفاده می‌شود. این رویکرد، روشی را برای ساخت یک شبکه‌ی تطبیق خوب بیان نمی‌کند. ولی به هر حال، یک ابزار ریاضی را برای مقایسه عملکرد شبکه‌ی تطبیق طراحی شده از لحاظ داشتن یک پهنه‌ی باند مشخص به صورت عباراتی از بهره و ضریب انعکاس به طرح می‌دهد. این روش در آینده توسط Fano [۵] و Youla [۱۲] مورد بررسی قرار گرفت.

در ارتباط با این موضوع، یک مورد خاص و مهم، استفاده از تئوری قدرتمند دارلینگتون [۱] (سیدنی دارلینگتون بیشتر در ساختار ترانزیستوری "زوج دارلینگتون" مشهور است) می‌باشد که به کمک Fano بر روی کاری که اخیراً به وسیله Bode انجام شده بود، صورت گرفت؛ که در آن با استفاده از تئوری دارلینگتون مسئله‌ی تطبیق امپدانس پهن باند به مسئله طراحی فیلتر تبدیل می‌شد. این تئوری بیان می‌کند که هر تابع امپدانسی که به طور فیزیکی قابل تحقق باشد می‌تواند به یک شبکه‌ی بدون اتلاف ختم شده^۲ به یک مقاومت 1Ω تجزیه شود (این کار به وسیله‌ی یک مبدل در یک شبکه‌ی راکتیو انجام می‌شود). این در حالی است که مقاومت منبع هم می‌تواند توسط یک مبدل (ترانسفورماتور) به مقاومت 1Ω تبدیل شود، بنابراین مسئله‌ی تطبیق امپدانس به مسئله‌ی طراحی فیلتر تبدیل می‌شود. همان‌طور که در شکل ۲-۱ نشان داده شده است، این مسئله نوعی طراحی فیلتر جزئی^۳ در ارتباط با طراحی شبکه اولیه می‌باشد، در حالی که شبکه‌ی دوم پیش از این به واسطه‌ی کاربرد قضیه‌ی دارلینگتون کشف شده بود. شایان ذکر است که هنر طراحی فیلتر در آن

¹ Radio frequency identification

² Terminated

³ Partial filter design